

معرفی سامانه واحد کانه‌زایی افshan- رگچه‌ای و رگه‌ای مس (سرب، روی) در محدوده معدنی چاه‌موسی- قله کفتران، بخش خاوری کمان ماگمایی ترود- چاه شیرین

نوشته: امیر امام جمعه^{*}، ابراهیم راستاد^{*}، فرهاد بوذری^{**}، نعمت‌ا... رشیدنژاد عمران*

*دانشکده علوم پایه، دانشگاه تربیت مدرس، تهران، ایران
**پردیس علوم، دانشکده زمین‌شناسی، دانشگاه تهران، ایران

An Introduction to Individual Disseminated-Veinlet and Vein Mineralization System of Cu (Pb- Zn) in the Chahmoosa-Gholekaftaran Mining District, Eastern Part of Toroud-Chahshirin Magmatic Arc

By: A. Imamjomeh*, E. Rastad*, F. Bouzari** & N. Rashidnejad Omran*

*Faculty of Basic Sciences, Tarbiat Modarres University, Tehran, Iran
**School of Geology, College of Science, University of Tehran, Tehran, Iran

تاریخ دریافت: ۱۳۸۷/۰۳/۱۲

تاریخ پذیرش: ۱۳۸۵/۱۱/۰۴

چکیده

محدوده معدنی چاه‌موسی، کلاته چاه‌موسی و قله کفتران در بخش خاوری کمان ماگمایی ترود چاه‌شیرین قرار دارد. توده‌های نیمه آتشفسانی (ساب‌ولکانیک) بیوتیت- هورنبلند آندزیت پورفیری چاه‌موسی و بیوتیت- هورنبلند داسیت پورفیری قله کفتران با ماهیت کلسمی- قلیایی (کالک آلکالن)، معادل با گرانیت‌های تیپ I توالي‌های آتشفسانی آذرآواری ائوسن را قطع کرده‌اند. کانه‌زایی نوع افshan رگچه‌ای مس در معدن فعال چاه‌موسی، همراه با دگرسانی‌های فیلیک و پروپیلیتیک در توده نیمه آتشفسانی پورفیری رخ داده است. فرایندهای سوپرژن در این کانسار، سبب تبدیل گسترده کانی‌های هیپوژن (پیریت، کالکوپیریت و بورنیت) به کانی‌های سوپرژن (کالکوست، کوولیت، دیژنیت، مالاکیت و نئوتوبیت) شده است. کانه‌زایی افshan رگچه‌ای مس، روی و سرب محدود به زون گسلی در کلاته چاه‌موسی با کانی شناسی پیریت، اسفالریت، بورنیت، گالن، باریت (اویله) و کالکوست، کوولیت، مالاکیت و نئوتوبیت (ثانویه)، همراه با دگرسانی فیلیک و پروپیلیتیک و سیلیسی در توده بیوتیت- هورنبلند آندزیت پورفیری رخ داده است. در معدن مس متروکه قله کفتران جنوبی، رگه‌های سیلیسی کالکوست و مالاکیت دار در توده بیوتیت- هورنبلند داسیت پورفیری مشاهده می‌شود. در معدن متروکه سرب قله کفتران شمالی رگه‌های سرب (روی و مس)، با کانی شناسی گالن (اسفالریت، پیریت و کالکوست) و کلسیت به همراه باریت، در توده بیوتیت هورنبلند داسیت پورفیری رخ داده است. مطالعات میانبارهای سیال نشان می‌دهند که با دور شدن از کانه‌زایی افshan- رگچه‌ای مس چاه‌موسی به سمت کانه‌زایی مس، روی و سرب کلاته چاه‌موسی و رگه‌های سرب و باریت قله کفتران شمالی، دمای یکنواختی کاهش منظمی را نشان می‌دهد. بر پایه مجموعه شواهد سنگ‌شناسی، ساخت و بافت و کانی شناسی کانسنگ‌ها، میانبارهای سیال و زمین‌شیمی، می‌توان نتیجه گرفت که کانه‌زایی در محدوده چاه‌موسی- قله کفتران مربوط به یک سامانه واحد کانه‌زایی است که در ارتباط با تکامل سیالات گرمابی کانه‌دار و آمیختگی با آبهای جوی سرد و کم شور، سبب تشکیل کانه‌زایی افshan رگچه‌ای مس (روی، سرب) در عمق و رگه‌ای مس، سرب، روی و باریت در بخش‌های نزدیک به سطح زمین و در نتیجه منطقه‌بندی عنصری و کانی شناسی شده است.

کلید واژه‌ها: کانه‌زایی افshan- رگچه‌ای و رگه‌ای مس (سرب، روی)، توده‌های نیمه آتشفسانی آندزیتی و داسیتی، کمان ماگمایی ترود- چاه‌شیرین، چاه‌موسی، قله کفتران.



Abstract

ChahMoosa, Kalate ChahMoosa and GholeKaftaran mining districts are located in the Eastern part of Toroud-ChahShirin magmatic arc. Calc-alkaline subvolcanic bodies' of ChahMoosa porphyry biotite-hornblende-andesite, GholeKaftaran porphyry biotite hornblende dacite, equivalent to I type granite, intruded Eocene volcanic-pyroclastic sequences. Disseminated-veinlet Cu mineralization in the ChahMoosa mine occurred in subvolcanic porphyry-biotite-hornblende-andesite bodies are associated with phyllitic and propylitic alterations. Supergene processes caused extensive alteration of hypogene sulfide minerals such as pyrite, chalcopyrite and bornite to secondary chalcocite, covellite, digenite, malachite and neotocite supergene minerals. Disseminated-veinlet Cu, Zn, Pb mineralization at Kalate ChahMoosa which is limited to a fault zone in porphyry biotite-hornblende andesite subvolcanic body. This mineralization is accompanied by phyllitic, propylitic, and silicic alterations and includes hypogene minerals such as pyrite, chalcopyrite, sphalerite, bornite, galena, barite and supergene minerals such as chalcocite, covellite, malachite and neotocite supergene minerals. In the abandoned Southern GholéKaftaran Cu mine, Cu bearing veins have occurred in porphyry biotite hornblende dacite body and contain quartz, chalcocite, and malachite. In the abandoned northern GholéKaftaran Pb mine, Pb (Zn, Cu) bearing veins occurred in porphyry biotite hornblende dacite body and they contain galena, sphalerite, pyrite, chalcocite, calcite and barite. Fluid inclusion studies show that homogenization temperature decreases gradually from ChahMoosa toward Kalate ChahMoosa to northern GholéKaftaran. Based on petrography, structures, textures, mineral paragenesis, fluid inclusion and geochemical studies, it can be concluded that mineralization at ChahMoosa-GholéKaftaran district has characteristics of an individual mineralization system. This system is related to evolution of hydrothermal fluid mineralization and their mixing with cold and low salinity meteoric water resulted in disseminated-veinlet Cu mineralization at relatively deep zones, and vein type Cu, Zn, Pb at shallow zones has led to development of elemental and mineralogical zonations.

Key words: Disseminated-veinlet and vein type Cu, Zn, Pb mineralization, Andesite and dacite subvolcanic, Toroud-ChahShirin magmatic arc, ChahMoosa - GholéKaftaran

۱- مقدمه و روش کار

دادن ارتباط مناطق کانه‌زایی با یکدیگر، شواهد وجود یک سامانه واحد کانه‌زایی گرمابی را بیان کند. تجزیه نمونه‌های معدنی و زمین‌شناسی به روش X.R.F (نمونه) و ICP.AES & MS (نمونه با تجزیه ۳۸ عنصری) به ترتیب در آزمایشگاه ALS-CHEMX پرتو ایکس دانشگاه تربیت مدرس و آزمایشگاه شرکت K.T.R.D انجام شده است. در تفسیر داده‌های زمین‌شیمی و عیارها از نتایج تجزیه‌های موجود در بایگانی معدن چاه‌موسی نیز استفاده شده است. برای نشان دادن ارتباط کانه‌زایی‌ها با یکدیگر، نقشه زمین‌شناسی-معدنی در مقیاس ۱:۵۰۰۰ و ۱:۲۰۰۰۰ از مناطق معدنی تهیه شده است. برای مطالعه کانی‌شناسی و میکروسکوپی کانی‌ها و کانه‌ها تعداد ۲۰ مقطع نازک، ۵ مقطع صیقلی و ۸۵ مقطع نازک-صیقلی مورد مطالعه قرار گرفته است. برای مطالعات دما و شوری سیال‌های کانه‌ساز تعداد ۵ مقطع دوبر صیقل در آزمایشگاه زمین‌شناسی اقتصادی دانشگاه تربیت مدرس تهیه و مطالعه شده است.

در کمان ماقمایی ترود چاه شیرین تعداد زیادی کانسار و اثر معدنی فلزهای پایه و گرانبهای گزارش شده است (رشید نژاد عمران، ۱۳۷۱؛ عابدیان و دری، ۱۳۷۵؛ بربنا و عشق آبادی، ۱۳۷۶؛ تاج الدین، ۱۳۷۷؛ فرد، ۱۳۸۰؛ شمعانیان اصفهانی، ۱۳۸۲). در منطقه چاه موسی - قله کفتان در خاور این کمان (شکل ۱) که در ۱۲۰ کیلومتری جنوب شهرود و ۱۰ کیلومتری شمال باختر ترود قرار دارد، از دیر باز فعالیت‌های معدنی انجام شده است. کند و کاوها عموماً در رگهای سیلیسی حاوی فلزهای پایه، بویزه رگهای مس‌دار، انجام شده است. محققانی که از این مناطق بازدید داشته‌اند، این کانه‌زایی را به صورت رگهای گرمابی سیلیسی - سولفیدی (کالکوستیت) توصیف کرده‌اند (عبدیان و دری، ۱۳۷۵؛ بربنا و عشق آبادی، ۱۳۷۶ و صادقی فلکدهی، ۱۳۸۲). این مقاله می‌کوشد تا با معرفی کانه‌زایی نوع جدید افshan- رگچه‌ای در این منطقه و با استفاده از داده‌های جدید مغزه‌های حفاری و مطالعات کانی‌شناسی، سنگ‌شناسی، دگرسانی و میانوارهای سیال، ضمن نشان

۲- زمین‌شناسی

شکل کانی‌سازی، کانی‌شناسی کانسنگ و باطله، ساخت و بافت کانسنگ، دگرسانی‌ها، داده‌های مطالعه دماسنجی (میکروترموتری) میانبارهای سیال، گسترش و عیار ماده معدنی در هر یک از معادن ارائه خواهد شد.

۱-۳- معدن مس چاه موسی

این معدن در ۱/۵ کیلومتری خاور کلاته چاه‌موسی، در توده بیوتیت-هورنبلت آندزیت پورفیری قرار دارد (شکل‌های ۲ و ۳). کانه‌زایی مس در این معدن، به دو صورت افshan- رگجه‌ای (شکل‌های ۴ و ۵) و رگه‌ای (شکل ۶) مشاهده می‌شود. کانه‌زایی نوع افshan- رگجه‌ای در منطقه‌ای بیضوی شکل به ابعاد ۲۵۰ متر در جهت شمالی- جنوبی و ۴۰۰ متر در جهت خاوری- باخته رخمنون دارد (شکل ۴). کانی‌شناسی این مجموعه شامل کانی‌های هیپوژن پیریت، کالکوپیریت و بورنیت است که فقط در ژرف‌ترین نمونه‌های گمانه حفاری شماره ۵، به صورت بافت باقیمانده در میان کانی‌های سوپرژن سولفیدی قابل مشاهده هستند (شکل‌های ۷ و ۸). کانی‌های ثانویه مس نیز شامل کالکوسیت، کوولیت و مالاکیت هستند (شکل‌های ۵ و ۷). به دلیل تاثیر شدید فرایندهای سوپرژن بر کانه‌زایی هیپوژن، کانه‌زایی سوپرژن سولفیدی و اکسیدی گسترش وسیعی داشته و با توجه به تفاوت کانی‌شناسی پدید آمده، کانه‌زایی از سطح به عمق را می‌توان به دو زون سوپرژن اکسیدی- سولفیدی (سطح تا ژرفای حدود ۳۰ متری) و سولفیدی (حدود ۳۰ متری تا بیش از ۱۰۰ متر) تقسیم کرد (شکل‌های ۹ و ۱۰). در ۳۰ متر اول گمانه شماره ۵ (زون سوپرژن اکسیدی- سولفیدی)، مجموعه کانی‌های مالاکیت، کالکوسیت، کوولیت، نتوتوسیت CuMnFeSiO_2 و هیدروکسیدهای آهن (هماتیت و گوتیت) به صورت رگجه‌ای و افshan، مشاهده می‌شوند. با افزایش ژرفای و گذر از ژرفای حدود ۳۰ متری تا انتهای گمانه شماره ۵ (ژرفای ۱۲۷ متری)، کانی‌سازی شامل کالکوسیت، مقادیر کمی دیزئنیت، بورنیت و پیریت است (شکل ۱۰). این زون در بخش‌هایی، سرشار از کانی کالکوسیت است و به همین دلیل زون سوپرژن سولفیدی نامیده شده است. تجزیه شیمیابی مغزه‌ها نشانگر گسترش کانه‌زایی مس با عیارهای متغیر (۱۰۰ گرم در تن تا ۴/۵ درصد)، تا ژرفای ۱۲۷ متر است (شکل ۱۰). تغییرات عیار مس متأثر از میزان سولفید اولیه (پیریت و کالکوپیریت) بوده است. نقره با همبستگی بالا با مس، در مقادیر کمتر از ۱/۱ تا ۲۷ ppm اندازه‌گیری شده است (شکل ۱۰). وجود کانه‌های کالکوپیریت و بورنیت افshan می‌تواند گسترش زون کانی‌سازی هیپوژن در اعمق را محتمل سازد (شکل‌های ۷ و ۸). احتمال دارد ادامه این گمانه‌ها در اعمق به زون هیپوژن منتهی شود. تغییرات کانی‌شناسی و عیارها از سطح تا عمق در گمانه شماره ۵ در زون سوپرژن معدن چاه‌موسی در شکل ۱۰ نشان داده شده است.

کمان ماگما‌بی ترود- چاه شیرین، که محدوده مورد مطالعه در آن واقع شده است، با روند شمال خاوری- جنوب باخته به صورت یک فرازهای در حاشیه شمالی کویر مرکزی قرار دارد. قدیمی‌ترین واحدهای سنگی رخمنون یافته در منطقه مورد مطالعه به سن ائوسن و شامل مجموعه‌ای از ماسه‌سنگ توفی، توف برش داسیتی، توف داسیتی، گدازه‌های پیروکسن آندزیت، توف آندزیتی داسیتی، برش توفی- برش گدازه و ماسه‌سنگ است که بر اساس تقسیم‌بندی هوشمندزاده و همکاران (۱۳۵۷)، برش‌های آتش‌شنازی زیرین (L.V.B.) نامیده شده است. این مجموعه به ترتیب توسط داسیت‌های برشی سبر لایه میانی (M.V.B.) و مجموعه‌ای از آندزیت و تناوبی از برش توف و برش گدازه آندزیتی بالایی (U.V.B.) دنبال می‌شود (امام جمعه و همکاران، ۱۳۸۴ و امام جمعه، ۱۳۸۵؛ شکل‌های ۲ و ۳). این توده‌ها واحدهای سنگی ائوسن (برش‌های آتش‌شنازی زیرین و بالایی) را قطع می‌کنند و به نظره هوشمندزاده و همکاران (۱۳۵۷) سنی در حدود ائوسن پسین- الیگوسن پیشین دارند. از لحاظ ژئوشیمی (زمین‌شیمی) این توده‌ها کلسیمی- قلیایی هستند و با توجه به نسبت‌های $\text{Y}+\text{Nb}$ و Rb بر $\text{Y}+\text{Ta}$ (Pearce et al., 1985) ؛ نقل از فرولنش تشکیل شده‌اند (امام جمعه، ۱۳۸۵). دایک‌های گابریوی ریزلولور نیز با راستای شمال خاور جنوب باخته، واحدهای (L.V.B.) و نیمه‌آتش‌شنازی آندزیتی را در چاه‌موسی قطع می‌کنند. شکستگی‌های اصلی گستره مورد بررسی شامل دو دسته شمال خاور- جنوب باخته (گسل‌های نرمال) و شمال باخته- جنوب خاور (گسل‌های نرمال با مؤلفه‌های امتداد لغز) هستند.

۳- کانه‌زایی

معدن‌کاری قدیمی و فعالیت‌های معدنی در منطقه چاه‌موسی- قله کفتران، که تا امروز نیز ادامه دارد، عمدها در رگه‌های سیلیسی- سولفیدی حاوی مالاکیت، آزوریت و کالکوسیت (عبدیان و دری، ۱۳۷۵ و صادقی فلک‌دهی، ۱۳۸۲) به منظور استخراج مس و همچنین در رگه‌های سرب‌دار قله کفتران به منظور استخراج سرب (برنا و عشق‌آبادی، ۱۳۷۶) صورت گرفته است. مطالعه نمونه‌های سطحی و عمقی معدن چاه‌موسی و کانه‌زایی کلاته چاه‌موسی، برای اولین بار منجر به شناسایی کانه‌زایی نوع افshan رگجه‌ای در این بخش از توده‌های نفوذی نیمه‌ژرف پورفیری کمریند ترود- چاه‌شیرین شده است (امام جمعه و همکاران، ۱۳۸۴) لذا در بحث کانه‌زایی تلاش می‌شود ضمن توصیف جداگانه هر یک از معادن و معرفی کانه‌زایی افshan- رگجه‌ای، ارتباط زایشی بین این معادن و کانه‌زایی‌ها مورد بحث قرار گیرد. به این منظور، ویژگی‌های زایشی هر کدام از کانه‌زایی‌ها مانند سنگ میزان،



(شکل‌های ۱۵ تا ۲۰). تصاویر میکروسکوپی هم رشدی‌های مختلف بین کانه‌ها در شکل‌های ۱۵ تا ۲۰ ارائه شده است. فرایند سوپرژن در سطح، سبب تبدیل کانه‌های مس به کالکوسیت، کوولیت و ملاکیت شده است.

۳-۳-معدن مس متروکه قله کفتران جنوبی

در ۳ کیلومتری خاور شمال خاور معدن چاه موسی و در توده نیمه آتشفسانی بیوتیت-هورنبلند داسیت پورفیری (شکل‌های ۲ و ۳)، رگه‌های سیلیسی مس دار با کانی‌شناسی کوارتز، کالکوسیت، کوولیت، ملاکیت و کلسیت دیده می‌شود. این رگه‌ها با امتداد شمال خاور- جنوب باختر (۵۰°E-۳۰°N)، با شیب نزدیک به قائم و با ستبرای متغیر چند میلی‌متر تا ۸/۰ متر دیده می‌شود. استخراج قدیمی (شدادی) در پیشتر این رگه‌ها انجام گرفته است. طول این رگه‌ها تا ۳۰۰ متر نیز می‌رسد و تغییر ستبرای رگه در طول آن، سبب شده بخش‌های سبتر استخراج شوند. حرکات زمین‌ساختی سبب قطع شدگی و جابه‌جایی این رگه‌ها شده است. تجزیه شیمیایی نمونه‌های این رگه‌ها نشان‌دهنده میزان میانگین ۲ درصد مس، و مقادیر کمتر از ۵۰ گرم در تن سرب و ۲۰۰ گرم در تن روی است. ساخت پرکنده فضای خالی و بافت قشری در این رگه‌ها قابل مشاهده است. باطله (گانگ) اصلی این رگه‌ها سیلیس و کمی کلسیت است.

۴-۳-معدن متروکه سرب قله کفتران شمالی

معدن متروکه سرب قله کفتران شمالی در ۴ کیلومتری شمال خاور معدن چاه موسی و در توده نیمه آتشفسانی بیوتیت-هورنبلند داسیت پورفیری، قرار دارد (شکل‌های ۲ و ۳). کانه‌زایی در این محدوده شامل رگه‌های گالن‌دار (معدن متروکه سرب)، رگه‌های باریت‌دار و به صورت محدود رگه‌های سیلیسی کالکوسیت‌دار است. رگه‌های کلسیتی گالن‌دار در سطح و سه تونل استخراجی معدن (تا ژرفای ۲۰ متری)، با ستبراهای ۲۰ تا ۷۰ سانتی‌متر در امتداد شمال خاور- جنوب باختر و با شیب تقریباً قائم، قابل مشاهده هستند. مهم‌ترین کانه این رگه‌ها گالن به همراه مقادیر کمی اسفالریت، پیریت (شکل‌های ۲۱ و ۲۲) و کانه‌های ثانویه مس (کالکوسیت و ملاکیت)، در باطله کلسیتی و باریتی است. ساخت پرکنده فضای خالی در این رگه‌ها قابل مشاهده است. رگه‌های سرب دار فوق توسط رگه‌های باریت با ستبرای ۳۰ تا ۶۰ سانتی‌متر و طول ۴ تا ۱۵ متر قطع شده‌اند. تجزیه نمونه‌های این رگه‌ها نشان‌دهنده مقدار میانگین ۷ درصد سرب، و مقادیر ۰/۲ تا ۰/۹ درصد مس و ۰/۰۲ تا ۰/۰۵ درصد روی است. در ۴۰۰ متری خاور معدن و در همین سنگ میزان، رگه‌های کوچک باریت خالص به همراه باطله کلسیتی با امتداد شمال خاور جنوب باختر دیده می‌شوند. در ۱/۵ کیلومتری شمال باختر معدن، در

کانه‌زایی نوع رگه‌ای به صورت رگه‌های سیلیسی کالکوسیت‌دار، با امتداد شمال خاور- جنوب باختر و شمال- جنوب، با شیب ۸۵ درجه به سمت شمال باختر تا قائم و با ستبرای متغیر چند میلی‌متر تا ۱ متر، در توده نیمه آتشفسانی چاه موسی رخ داده است (شکل ۶). این رگه‌ها شامل کوارتز، کلسیت و کانه‌های ثانویه کالکوسیت، کوولیت، ملاکیت و آزوریت است. نتایج تجزیه شیمیایی نشان‌دهنده ۱/۵ تا ۳/۸ درصد مس، ۲۰۰ ppb طلا و ۷/۵ تا ۴۸/۸ ppm نقره در این رگه‌ها است (عبدیان و دری، ۱۳۷۵؛ امام جمعه، ۱۳۸۵). ساخت باقلایی در پیشتر آنها دیده می‌شود. نتایج حفاری‌ها نشان می‌دهند که این رگه‌ها در عمق ادامه نمی‌یابند. رگه‌های سیلیسی کالکوسیت‌دار با ویژگی‌های کانی‌شناسی یکسان با منطقه چاه موسی، در قله کفتران جنوبی و شمالی و شمال باختر چاه موسی (همراه با بقایای کالکوپیریت) نیز دیده می‌شوند.

۴-۳-معدن مس کلاقه چاه موسی

این کانه‌زایی در ۲۰۰ متری خاور کلاله چاه موسی و حدود ۱/۵ کیلومتری خاور معدن چاه موسی قرار گرفته است (شکل‌های ۲ و ۳). کانه‌زایی در پهنه‌ای با طول حدود ۸۰ متر و عرض میانگین ۸ متر با روند NW^{۴۰°}E^{۸۰°}NW^{۴۰°}E^{۸۰°}N محدود سنگ میزان بیوتیت-هورنبلند آندزیت پورفیری، رخنمون دارد. در شکل ۱۱ نقشه شماتیک انواع کانه‌زایی‌های موجود در این بخش نشان داده شده است. این کانه‌زایی‌ها در امتداد گسلی با روند و شیب NW^{۴۰°}E^{۸۰°}N محدود می‌شوند. کانه‌زایی در اعماق به شکل افسان و در سطح به فرم افسان، رگه و استوکورک (شکل‌های ۱۲ و ۱۳) است. برش‌های گرمابی، با زمینه هماتیت (اسپیکیولاریت) و کوپیریت با وسعتی حدود ۱۰ در ۵ متر، این مجموعه را همراهی می‌کند (شکل ۱۴). چرخش قطعات زاویه دار تا گردشده نشان‌دهنده گرمابی بودن این برش است (Jebrak, 1997; Sillitoe, 1985). این برش در بالای بخش استوکورک سیلیسی مس دار (کالکوسیت و ملاکیت) مشاهده می‌شود (شکل ۱۳). رگه‌های این بخش شامل کالکوسیت، بورنیت، گالن، اسفالریت و کالکوپیریت (کمیاب)، همراه با باطله کوارتز و کلسیت (سفید و سیاه) هستند. رگه‌های نسبتاً طویل باریت، این مجموعه را کرده‌اند (شکل ۱۱). میانگین مقدار مس، روی و سرب نمونه‌های این معدن به ترتیب ۷/۱ و ۱/۴ درصد است (امام جمعه، ۱۳۸۵). در نمونه‌های سطحی این بخش، مقادیر بی‌هنجاری از طلا و نقره به صورت ۰/۱ ۴/۰ گرم در تن طلا از استوکورک سیلیسی و ۱۲ تا ۸۰۰ گرم در تن نقره از رگه‌های سرشار از کالکوسیت گزارش شده است (عبدیان، ۱۳۷۵ و امام جمعه، ۱۳۸۵). در مغرب‌های حفاری این بخش، کانه‌های پیریت، کالکوپیریت، اسفالریت، بورنیت، گالن، دیزنت و اسپیکیولاریت به صورت افسان و رگه‌ای مشاهده می‌شود

منجر به شناسایی انواع میانبارهای اولیه و ثانویه شده است. مطالعات میکروترموتری بر روی میانبارهای اولیه و دو فازی (V+L) از انواع کانه‌زایی‌ها، در آزمایشگاه دانشگاه تربیت مدرس و با میکروسکوپ ویژه از نوع HFS-91 Linkam و کنترل دمایی MS-92 انجام شد. مطالعه میانبارهای سیال اولیه دو فازی (V+L) موجود در کوارتزهای ثانویه زون دگرسانی فیلیک کانه‌دار معدن مس چاه موسی با ابعاد ۵ تا ۸ میکرون (نمونه‌ای از باتی ماندهای زون هیپوزن در محلی که با کانه‌زایی افشار بورنیت و پیریت اولیه و کالکوستیت ثانویه همراه است) دمای یکنواختی ۳۹۶ تا ۴۲۸ درجه سانتی گراد (شکل ۲۴)، درجه شوری ۵ تا ۱۲/۵ درصد معادل نمک طعام و دامنه ژرفای تشکیل ۴۰۰-۲۲۵۰ متر را نشان می‌دهد. مطالعه میانبارهای سیال اولیه دو فازی (V+L) موجود در رگچه کوارتزی حاوی اسفالریت-کالکوپیریت-گالن-بورنیت مربوط به کانه‌زایی کلاته چاه موسی (نمونه‌ای از ژرفای ۱۵۵ متری گمانه حفاری شماره ۱) نشان دهنده دمای یکنواختی ۳۵۰ تا ۳۶۵ درجه سانتی گراد (شکل ۲۴)، درجه شوری ۳/۴ تا ۱۳/۹ درصد معادل نمک طعام و ژرفای تخمینی ۱۶۲۰ تا ۴۳۷ متر است. مطالعه میانبارهای سیال اولیه دو فازی (V+L) موجود در رگه سیلیسی کالکوستیت‌دار چاه موسی (ترانشه اول میراحمد، شکل‌های ۴ و ۶) نشان دهنده دمای یکنواختی ۲۴۵ تا ۳۹۵ درجه سانتی گراد (شکل ۲۴)، درجه شوری ۷/۹ تا ۱۱/۷ درصد معادل نمک طعام و دامنه ژرفای تشکیل ۱۰۶۵ تا ۲۸۸ متر است. با توجه به ویژگی‌های کانی‌شناختی و دگرسانی یکسان در همه رگه‌های سیلیسی کالکوستیت‌دار، این دامنه دما، درجه شوری و ژرفای قابل تعیین به تمامی این رگه‌ها در منطقه است. مطالعه میانبارهای سیال اولیه دو فازی (V+L) موجود در کلسیت همرشد با گالن، در رگه کلسیتی گالن‌دار قله کفتران شمالی، نشان دهنده دمای یکنواختی ۱۲۳ تا ۱۸۰ درجه سانتی گراد (شکل ۲۴)، درجه شوری ۶/۴۵ تا ۷/۹ درصد معادل نمک طعام و دامنه ژرفای تشکیل کمتر از ۲۰۰ متر است. این میانبارها کمترین TE را در بین کل سیال‌ها مطالعه شده از کانه‌زایی‌های منطقه دارند، که می‌تواند به دلیل افزایش میزان CO_2 در سیال‌های کانه‌ساز باشد.

۶- بحث و نتیجه‌گیری

مطالعات صحرایی و آزمایشگاهی انجام گرفته در مناطق معدنی چاه موسی، کلاته چاه موسی، قله کفتران شمالی و جنوبی، ارتباط زایشی کانه‌زایی‌های مس، روی، سرب و باریت را با توده‌های نفوذی نیمه‌آتشفشاری ائوسن-آلیگوسن آشکار کرد. با توجه به نمونه‌برداری‌های انجام گرفته از رخمنونها و گمانه‌های حفاری در چاه موسی و کلاته چاه موسی و نمونه‌های سطحی از قله کفتران شمالی و جنوبی، و بررسی شکل کانی‌سازی، ترکیب کانه‌های اولیه و ثانویه و نوع دگرسانی‌ها، می‌توان ویژگی‌های این کانه‌زایی‌ها را مطابق جدول ۲ خلاصه و ارائه کرد. شواهد و اطلاعات موجود از لحاظ ساخت و بافت و زمین‌شیمی عناصر، حاکی

همین سنگ میزبان، رگه سیلیسی-مس دار (کالکوستیت-مالاکیت-کلسیت و هیدروکسیدهای آهن) با امتداد شمال خاور-جنوب با خطر مشاهده می‌شود. توالي پاراژنتیکی عمومی انواع کانه‌زایی‌های بحث شده در بالا، در شکل ۲۳ ارائه شده است.

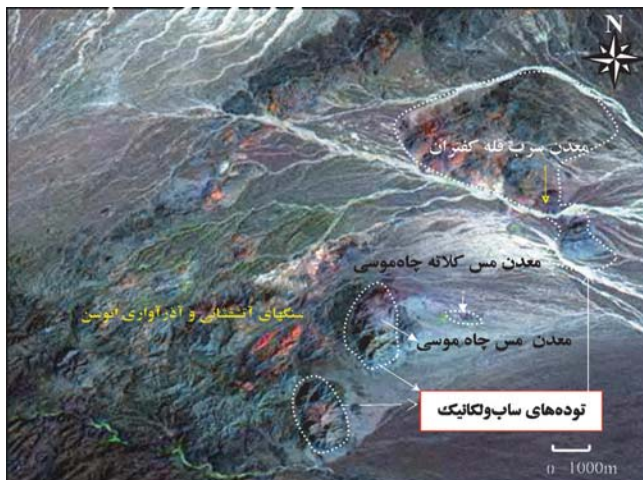
۴- دگرسانی

دگرسانی‌های همراه با کانه‌زایی افشارن و رگچه‌ای مس، شامل دگرسانی فیلیک (سریسیت-کوارتز-پیریت) و پروپیلیتیک (کلریت-کلسیت و اپیدوت-کلریت-کلسیت) است که به صورت فراگیر در سطح و نمونه‌های عمقی گمانه‌های حفاری در توده بیوتیت هورنبلن آندزیت پورفیری مشاهده می‌شود (شکل ۹). سریسیتی شدن پلازیو کلار، تشکیل کوارتز ثانویه بافت مضرسی و پیریت، در متن سنگ نشان دهنده دگرسانی فیلیک در محدوده معدن چاه موسی است. وسعت این دگرسانی در محل معدن فعال مس چاه موسی، در حدود 700×200 متر است. با استفاده از نتایج مطالعات میکروسکوپی و تجزیه‌های پراش پرتو ایکس، مجموعه کانی‌های کلریت-کلسیت و اپیدوت-کلریت-کلسیت در نمونه‌های مطالعه شده از محدوده معدن چاه موسی و گمانه‌های حفاری شماره ۵ و ۳ مشخص شده است (شکل ۹). بر اساس (Bean 1982) این مجموعه کانی‌ها، نشان دهنده دگرسانی پروپیلیتیک است که با فراوانی کانی‌های کلسیم و میزبیم دار مشخص می‌شود. در حاشیه‌گاه‌های سیلیسی کالکوستیت‌دار، در چاه موسی و قله کفتران جنوبی، دگرسانی سریسیتی مشاهده می‌شود. دگرسانی در محدوده کانه‌زایی کلاته چاه موسی، شامل کوارتز-سریسیت و کلریتی-کلسیتی در سطح و فیلیک (کوارتز-سریسیت-پیریت)، کلریتی-کلسیتی و سیلیسی در عمق است. به دلیل کمبود داده‌های عمقی و پوشش آبرفت در این محل پنهان‌بندی دگرسانی امکان پذیر نگردید. دگرسانی‌های مشاهده شده در رخمنون‌های معدن قله کفتران شمالی و بخش شمالی آن، شامل دگرسانی‌های کلریتی-کلسیتی ضعیف (پروپیلیتیک) و رسی شدن است. رسی شدن در امتداد خطواره‌های تقریباً خاوری-باختری، در شمال باختر چاه موسی گسترش یافته است (شکل ۲). نتایج پراش پرتو ایکس، مجموعه کانی‌های کائولینیت، ناکریت، دیکیت، ایلیت و سیلیس را نشان می‌دهد. بخشی از کانی‌های رسی می‌تواند در اثر هوازدگی پیریت و تأثیر اسید سولفوریک حاصل بر روی سنگ‌های منطقه ایجاد شده باشد (رسی شدن سوپرژن)، ولی وجود ناکریت و دیکیت دلیلی بر هیپوزن بودن بخشی از این مجموعه است (Montoya & Hemley, 1975) به عبارت دیگر دیکیت کانی رسی پایدار از خانواده کائولن، در ژرفای دمای بالاست (Ehrenberg et al., 1993).

۵- مطالعه میانبارهای سیال

برای مطالعه میانبارهای سیال ۵ مقطع دوره‌صیقلی تهیه و مطالعه میکروسکوپی آنها،

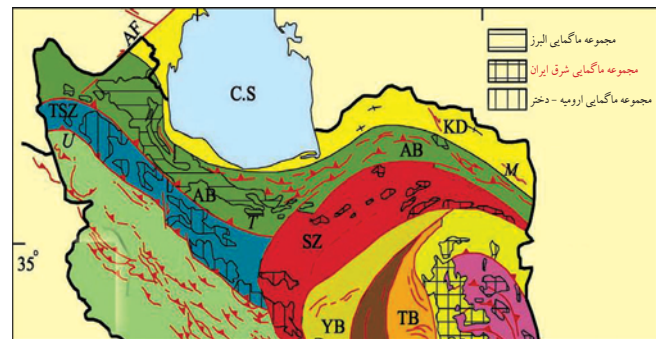
است. کمترین دمای تشکیل (دمای یکنواختی) از این محل به سمت کانهزاپی افshan- رگچهای و استوکورک کلاته چاهموسی و سپس رگهای سیلیسی کالکوسیت دار چاهموسی و قله کفتران جنوبی و در نهایت رگهای سرب و باریت دار قله کفتران شمالی کاهاش مشخصی را نشان می دهد (شکل ۲۴). این کاهاش به دلیل صعود سیالها و آمیختگی احتمالی با آب‌های سرد جوی است کاهاش به دلیل صعود سیالها و آمیختگی احتمالی با آب‌های سرد جوی است (Kodera et al., 2004). این همخوانی بین تغییرات عنصری، کانی شناسی، دگرسانی، دما و ژرفای تشکیل می تواند در اثر وجود یک سامانه کانهزاپی واحد در منطقه باشد. به طوری که، با دورتر شدن از مرکز این سامانه، در معدن مس چاهموسی ضمن کاهاش دما و احتمالاً ژرفای تشکیل، از شدت دگرسانی کاسته شده است. منطقه‌بندی عنصری نیز از این روند پیروی کرده است و از مس در معدن چاهموسی تا مس، روی، سرب و باریت در کلاته چاهموسی و رگهای سرب و باریت دار در قله کفتران تغییر می کند. این سامانه در شکل کانهزاپی نیز تأثیر گذاشته است به طوری که در معدن چاهموسی، کانهزاپی به شکل افshan- رگچهای است و با فاصله گرفتن از این معدن به سوی کلاته چاهموسی به صورت افshan- رگچهای و استوکورک محدود به زون گسلی بوده و در قله کفتران به شکل رگهای است. از مجموعه این شواهد و دلایل می توان نتیجه گرفت که مجموع کانهزاپی های منطقه چاهموسی - قله کفتران مربوط به یک سامانه واحد کانهزاپی گرمابی است. در شکل ۲۵ به طور شماتیک تکامل این سامانه کانهزاپی گرمابی نشان داده شده است.



شکل ۲- تصویر ماهواره‌ای لندست از منطقه مورد مطالعه و موقعیت معدن مس چاهموسی، کلاته چاهموسی و سرب قله کفتران همراه با توده‌های نیمه‌آتشفسانی (محدوده‌های خط چین) و مجموعه آتشفسانی- آذارآواری اثوسن

از آن است که کانهزاپی در معدن مس چاهموسی از نوع مس افshan رگچهای، کانهزاپی در معدن مس کلاته چاهموسی به صورت مس، روی، سرب و باریت رگچهای افshan- استوکورک محدود به زون گسلی، کانهزاپی در چاهموسی و قله کفتران جنوبی از نوع مس رگهای و کانهزاپی در معدن متروکه سرب قله کفتران شمالی از نوع سرب و باریت رگهای است.

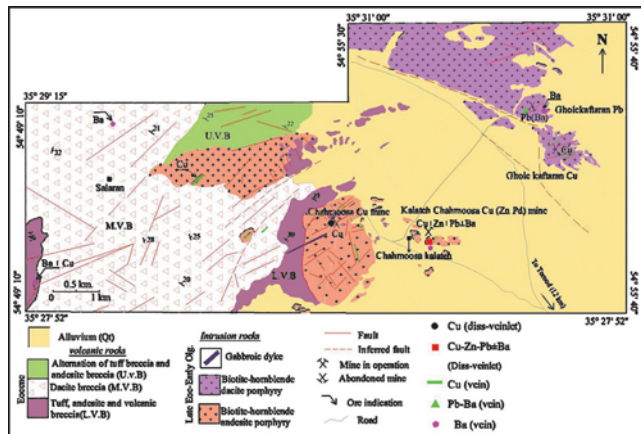
تغییرات عنصری از مس \pm نقره در معدن مس چاهموسی تا مس + روی + سرب \pm باریت \pm نقره \pm طلا در کانهزاپی کلاته چاهموسی، مس \pm نقره \pm طلا در رگهای سیلیسی کالکوسیت دار چاهموسی و قله کفتران جنوبی، سرب \pm مس \pm روی در معدن متروکه سرب قله کفتران شمالی و باریت در قله کفتران شمالی شیبه به یک منطقه‌بندی عنصری است (شکل ۲۵). انتظار بر این است که پهنه‌بندی دگرسانی، تأیید کننده این منطقه‌بندی باشد، ولی به دلیل کمبود اطلاعات عمقی در منطقه و پوشش سبزبرآفت بین کانهزاپی‌ها، تفکیک دقیق و پهنه‌بندی دگرسانی‌ها میسر نشد، اما با توجه به اطلاعات فعلی وجود دگرسانی‌های فیلیک، کلریتی-کلسیتی و اپیدوتی-کلریتی-کلسیتی، در معدن چاهموسی، دگرسانی‌های فیلیک، کلریتی-کلسیتی و سیلیسی در منطقه کلاته چاهموسی و دگرسانی پروپیلیتیک در قله کفتران شمالی و جنوبی می توان بیان کرد، که از معدن چاهموسی به سوی قله کفتران، نوع دگرسانی‌ها تغییر می کند و از شدت دگرسانی‌ها کاسته می شود. مطالعات میانیارهای سیال نیز تأیید کننده این منطقه‌بندی است، زیرا کانهزاپی مس افshan- رگچهای در معدن مس چاهموسی، در دما و ژرفای بیشتر تشکیل شده



شکل ۱- موقعیت کمان ماگمایی ترود- چاه‌شیرین (محدوده سفید رنگ) در نقشه زون‌های ساختاری ایران (بر اساس Alavi, 1991) منطقه مورد مطالعه در خاور کمان ماگمایی ترود- چاه‌شیرین و در زون سبزوار (S.Z.) قرار دارد. علائم اختصاری: AB: البرز، KD: کپه داغ، M: مشهد، S: شهرود، SZ: زون سبزوار، T: تهران، TB: بلوک طبس، TSZ: زون تبریز- ساوه، U: ارومیه، YB: بلوک یزد، ZO: کوهزاپی زاگرس

جدول ۱- نتایج تجزیه شیمیایی نمونه‌های مغزه‌های حفاری گمانه‌های شماره ۵ (۱۰۸۵ تا ۹- D3) در آزمایشگاه شرکت ICPAES-MS ALSOCHEMEX کانادا، تمام نتایج به گرم در تن است.

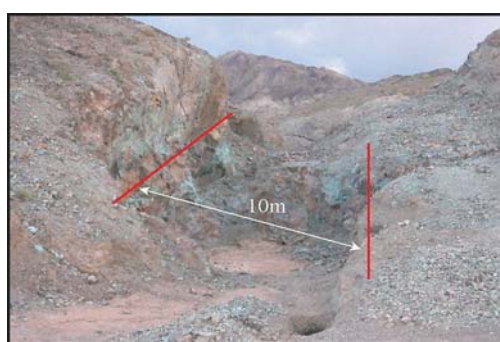
Sample	Ag	Ba	Ce	Co	Cr	Cs	Cu	Dy	Er	Eu	Ga	Gd	Hf	Ho	La	Lu	Mo	Nb	Nd	Ni	Pb	Pr	Rb	Sm	Sn	Sr	Ta	Tb	Th	Tl	Tm	U	V	W	Y	Yb	Zn	Zr	
1	16	372	39.2	4.8	100	5.2	23800	1.2	0.7	0.5	16	2	3	0.2	21.3	0.1	3	11	15.5	17	15.4	11.6	2.4	1	225	0.7	0.2	5	0.6	0.1	1.6	80	2	7.1	0.7	90	91.9		
2	4	520	42.3	7.7	70	4.6	14700	1.3	0.8	0.6	16	2.1	3	0.3	21	0.1	2	11	15.6	18	14.9	4.6	11.2	2.3	1	244	0.7	0.3	5	0.6	0.1	1.3	65	3	8.5	0.8	97	93.3	
3	<1	635	45.1	10.8	80	4.1	551	1.5	0.9	0.6	17	2.3	3	0.3	22.8	0.1	2	10	15.6	18	14.5	81	2.5	1	285	0.7	0.3	5	<0.5	0.1	1.2	70	1	8.9	0.6	91	90.5		
4	1	361	41.7	7.9	70	3	979	1.4	0.9	0.7	17	2.3	3	0.3	22.8	0.1	<2	11	16	17	7	4.5	8.1	2.5	1	107	0.7	0.2	5	0.6	0.1	1.2	70	1	8.9	0.6	91	90.5	
5	<1	603	42.6	6	60	3.6	1065	1.6	0.9	0.7	17	2.3	3	0.3	23.2	0.1	<2	17	26	27	11	4.0	87.9	2.5	1	315	0.6	0.9	5	<0.5	0.1	1.4	69	0	9.6	0.6	90	100	
12	14	125.5	40.2	6.2	70	3.7	6050	1.2	0.7	0.6	16	2.1	3	0.2	21.8	0.1	2	10	14.9	14	6	4.3	72.4	2.2	1	242	0.7	0.2	4	<0.5	0.1	1.3	66	4	7.5	0.7	73	87.8	
44	<1	234	38.9	8.3	80	2.3	213	1	0.7	0.6	17	2.1	3	0.2	20.1	0.1	2	11	15	16	<5	4.3	60.1	2.4	1	342	0.7	0.2	5	<0.5	0.1	1.3	69	3	7	0.7	81	93.2	
47	<1	312	36	7.9	70	2.1	126	1.1	0.7	0.5	17	1.9	3	0.2	19.2	0.1	2	11	14	16	7	4	57.6	2.1	1	311	0.7	0.2	4	<0.5	0.1	1.2	67	3	7.3	0.7	79	87.7	
53	<1	419	31.9	8.3	90	2.1	68	1	0.7	0.4	17	1.6	3	0.2	17.1	0.1	2	11	11.8	16	5	3.4	60.7	1.8	1	351	0.7	0.2	5	<0.5	0.1	1.1	70	5	7.2	0.8	75	94.9	
57	<1	471	41.2	7.6	60	2.1	184	1.2	0.7	0.6	16	2	3	0.2	21.9	0.1	2	11	15.2	14	5	4.5	60.2	2.3	1	316	0.7	0.2	5	<0.5	0.1	1.1	67	2	7.8	0.8	62	81	
96	<1	291	37.5	8.1	80	2.7	110	1.2	0.8	0.5	17	1.9	3	0.2	20	0.1	2	10	14.1	15	7	4.1	66.6	2.2	1	310	0.7	0.2	5	<0.5	0.1	1.2	71	3	7.6	0.8	80	89.6	
110	<1	387	39.3	9.4	60	1.9	127	1.2	0.8	0.5	16	2	3	0.2	20.5	0.1	2	12	14.8	19	7	4.4	62.5	2.2	1	341	0.8	0.2	5	<0.5	0.1	1.4	74	3	7.5	0.7	107	95.2	
127	18	605	41.2	5.2	80	3.9	14800	1.1	0.7	0.5	16	2	3	0.2	22.8	0.1	2	11	14.9	18	8	4.5	114.5	2.1	1	253	0.7	0.2	5	<0.5	0.1	1.4	74	3	7	0.7	93	102.5	
136	4	580	37.6	6.7	60	3.4	6320	1.3	0.8	0.5	17	2	3	0.2	20.2	0.1	2	10	14.7	18	8	4.2	118	2.2	1	194.5	0.8	0.2	5	<0.5	0.1	1.2	71	5	7.9	0.8	93	95.3	
149	<1	434	34.6	11	50	2.3	886	1.5	0.9	0.6	16	2.2	3	0.3	17.8	0.1	2	10	14.6	19	9	4.1	81.7	2.4	1	347	0.7	0.3	4	<0.5	0.1	1.2	98	2	9	0.8	104	97.8	
166	13	583	43.4	4.6	80	4.0	22600	1.1	0.7	0.6	17	2.2	3	0.2	22.5	0.1	2	11	16.4	16	9	4.8	137.5	2.4	1	152	0.7	0.2	5	<0.5	0.1	1.3	71	3	6.9	0.7	86	90.3	
177	3	480	39.3	6.1	80	4.5	5860	1.3	0.8	0.6	17	2.1	3	0.2	20.4	0.1	2	10	14.8	18	5	4.2	144	2.2	1	134.5	0.7	0.3	5	<0.5	0.1	1.4	69	3	7.9	0.7	86	90.8	
217	<1	206	33.9	8.1	70	1.8	44	1.1	0.7	0.5	17	1.8	3	0.2	17	0.1	2	11	13.4	18	7	3.9	57	2.1	1	323	0.7	0.2	5	<0.5	0.1	1.2	69	2	7.3	0.8	76	104	
274	<1	527	41.9	8	70	2.4	80	1.3	0.8	0.6	16	2	3	0.3	22.1	0.1	2	11	15.9	16	8	4.6	88.1	2.5	1	315	0.7	0.3	5	<0.5	0.1	1.4	68	3	8.3	0.8	95	86.2	
313	1	374	51.4	7.6	50	1.5	3250	1.7	0.8	1.2	16	3.6	3	0.3	24.8	0.1	2	11	23.7	15	11	6.5	58.5	4.2	1	347	0.7	0.4	5	0.5	0.1	1.4	71	4	9.1	0.8	103	89.5	
331	<1	402	41.9	8.6	80	2.0	6	106	1.1	0.7	0.5	16	2	3	0.2	20.5	0.1	2	11	15.5	16	15	3.2	57	1.6	1	313	0.7	0.2	5	<0.5	0.1	1.3	69	3	6.6	0.8	89	86.4
345	<1	630	27.1	8.1	60	1.6	240	1.1	0.8	0.6	16	1.8	2	0.3	13.4	0.1	2	11	11.1	15	7	3.2	63	1.1	1	346	0.7	0.2	5	<0.5	0.1	1.3	68	5	6.1	0.8	83	18.5	
412	<1	739	42.8	8.6	60	2.6	687	1.4	0.9	0.7	16	2.3	3	0.3	22.4	0.1	2	11	17	16	42	4.8	97.5	2.7	1	388	0.8	0.3	5	<0.5	0.1	1.4	73	2	8.6	0.8	106	108.5	
423	30	484	40.8	5.4	50	4.3	46300	1.1	0.7	0.5	16	2	4	0.2	20.8	0.1	2	11	14.9	15	15	4.4	116	2.2	1	255	0.8	0.2	5	<0.5	0.1	1.4	79	3	6.7	0.7	73	117	
431	23	482	46.4	8.0	46	4.6	48100	1.1	0.7	0.4	17	1.6	3	0.2	12.4	0.1	3	11	10.4	16	14	3	135	1.8	1	176	0.7	0.2	5	<0.5	0.1	1.4	72	5	7.3	0.8	41	108.5	
469	13	601	35.4	8.6	60	2.8	33300	1.3	0.8	0.6	16	2	3	0.2	16.5	0.1	2	10	13.6	16	14	4	100.5	2.3	1	308	0.7	0.2	4	<0.5	0.1	1.2	86	4	7.2	0.8	81	87.6	
488	<1	562	48	11	70	1.3	195	1.8	1	0.9	0.8	16	2.9	3	0.3	25.5	0.1	2	10	19.5	18	12	5.5	64.5	3.2	1	444	0.7	0.4	4	<0.5	0.1	1.2	95	2	10	1	99	109
503	11	583	64.2	11.1	70	2.1	9500	1.8	1	1.1	16	3.4	3	0.3	35.5	0.1	3	11	23.8	17	9	6.9	91.8	3.6	1	409	0.7	0.4	4	<0.5	0.1	1.3	96	3	8.0	0.8	98	98.1	
518	27	409	47.7	7.6	40	3.9	49900	1.4	0.8	0.7	16	2.5	3	0.3	26.3	0.1	2	11	18.2	13	13	5.2	116	2.9	1	180.5	0.7	0.3	4	<0.5	0.1	1.3	89	7	8.4	0.8	82	103	
523	7	583	41.9	6.6	70	4.4	7540	1.4	0.9	0.6	17	2.1	3	0.3	22.2	0.1	2	11	15.3	16	6	4.5	135.5	2.3	1	174	0.8	0.3	5	<0.5	0.1	1.4	71	8	8.2	0.7	97.7		
546	<1	457	33.9	12.8	60	1	198	1.1	0.7	0.5	16	1.9	3	0.2	16.5	0.1	2	10	14	19	8	3.9	49.9	2.2	1	363	0.6	0.2	4	<0.5	0.1	1.1	98	2	6.4	0.7	112	96.1	
563	<1	360	41.3	13.4	60	0.7	48	1.6	0.9	0.9	17	3	3	0.3	25.1	0.1	2	10	20.5	22	9	5.8	38.4	3.3	1	357	0.6	0.3	4	<0.5	0.1	1.1	106	3	9.3	0.9	97	106	
616	<1	562	38.9	15.2	90	1.6	1085	1.4	0.9	0.7	16	2.4	3	0.3	26	0.1	2	10	16.8	24	17	4.2	121.5	2.3	1	140.5	0.7	0.2	4	<0.5	0.1	1.2	66	4	6.9	0.7	68	73.7	
637	<1	510	52.2	15.2	90	1	98	1.6	0.8	1	17	3.1	3	0.3	26.1	0.1	2	10	22.2	23	9	6	45.2	3.8	1	454	0.7	0.4	4	<0.5	0.1	1.1	124	2	8.3	0.			



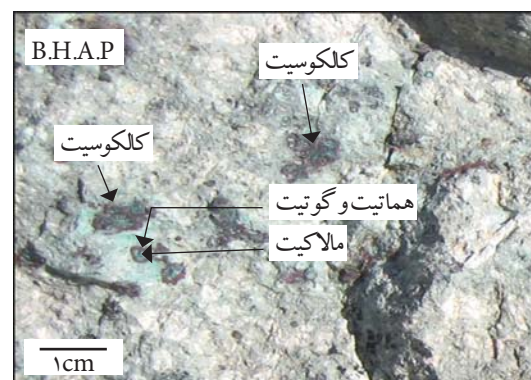
شکل ۳- نقشه زمین‌شناسی و پراکندگی معادن و نشانه‌های معدنی منطقه مورد مطالعه در مقیاس ۱:۲۰۰۰۰، از مرکز به شمال خاور شامل معدن مس چاه‌موسی، معدن مس (روی، سرب و باریم) کلاته چاه‌موسی، معدن متروکه مس قله کفتران جنوبی، معدن متروکه سرب قله کفتران شمالی (امام جمعه، ۱۳۸۴)



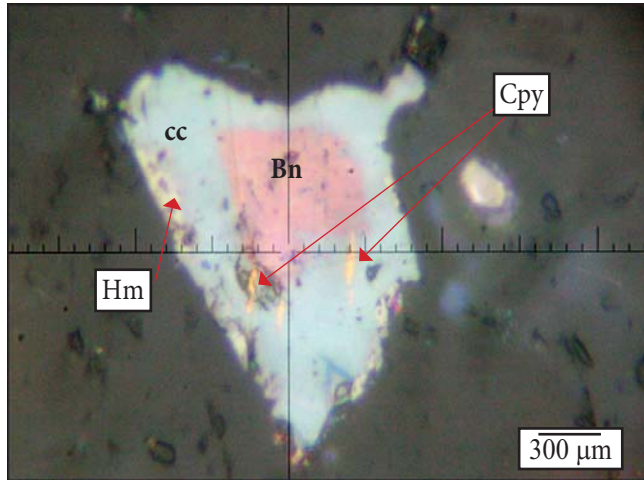
شکل ۴- نمایی از معدن مس چاه‌موسی (محلوده کانه‌زایی افshan- رگه‌ای مس، محلوده خط‌چین) و موقعیت رگه‌های سیلیسی کالکوسیت دار ترانشه اول میراحمد و قله حر در سنگ میزان توده نیمه‌آتش‌شانی بیوتیت هورنبلند آندزیت پورفیری، دید به سوی شمال خاور، محل کارگاه‌های استخراجی ☆: محل وجود رخنمون کانه‌زایی افshan- رگه‌ای مس؛ A-B: محل مقطع زمین‌شناسی در شکل ۹ است. فاصله هوایی کارگاه ۲ تا کارگاه ۳ حدود ۳۵۰ متر است.



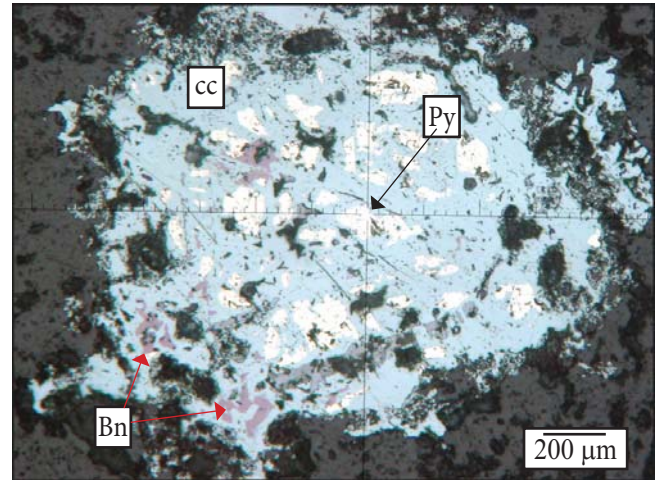
شکل ۶- نمایی از رگه‌های سیلیسی کالکوسیت دار در ترانشه اول میر احمد در ۵۰۰ متری خاور کارگاه ۳ معدن فعل مس چاه‌موسی، آغشته‌گی‌های مالاکیت و آزویریت در عرض رگه دیده می‌شود. دید به سمت شمال باخترا



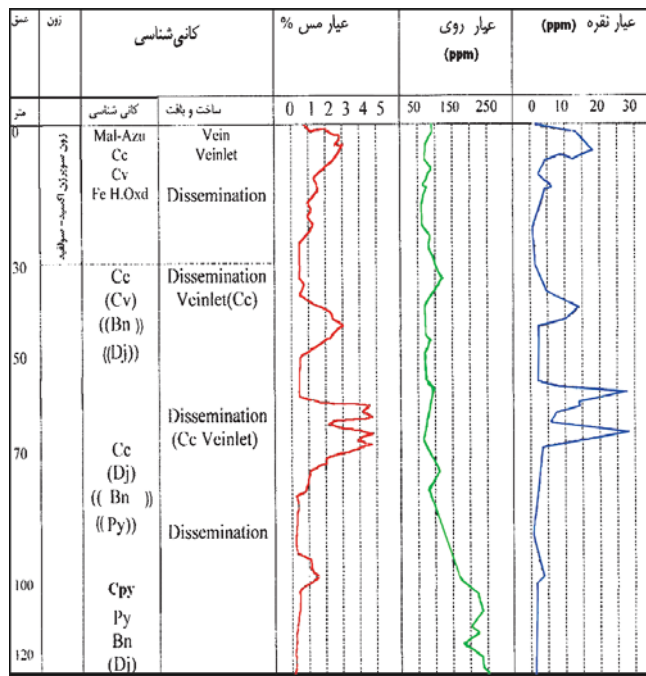
شکل ۵- کانه‌زایی افshan کالکوسیت (همراه با ملاکیت و اکسیدهای آهن) در توده بیوتیت- هورنبلند آندزیت پورفیری (B.H.A.P.)، در معدن مس چاه‌موسی.



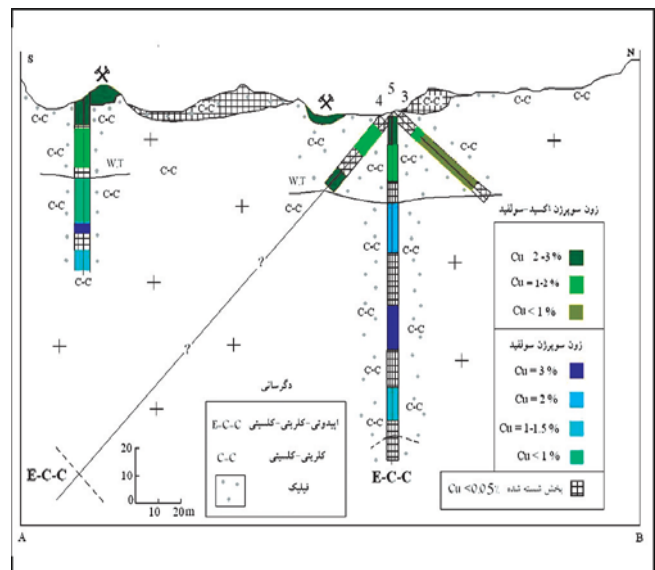
شکل-۸- بافت افshan که در آن باقیمانده‌های کالکوپیریت (Cpy) در کاربورنیت (Bn) و کالکوسیت (cc) سوپرژن و هماتیت ثانویه (Hm) دیده می‌شود، نمونه‌ای از باقیمانده زون هیپوژن در ژرفای ۱۱۰ متری گمانه حفاری شماره ۵، معدن مس چاه‌موسی، نور بازتابی، روغن، PPL 500X.



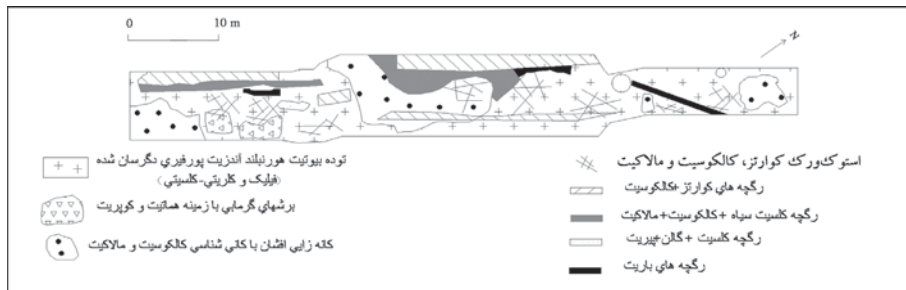
شکل-۷- بافت دانه پراکنده با باقیمانده‌های پیریت هیپوژن (py) و بورنیت هیپوژن (Bn) در زمینه‌ای از کالکوسیت سوپرژن (cc)، نمونه‌ای از ژرفای ۱۰۰ متری گمانه حفاری شماره ۵، زون سوپرژن سولفیدی در معدن مس چاه‌موسی، نور بازتابی، روغن، PPL 200X.



شکل-۱۰- تغییرات کانی شناسی، بافت و عیار مس، روی و نقره در سه زون سوپرژن اکسید- سولفید، سولفید، باقیمانده زون هیپوژن، از سطح به ژرفای در گمانه حفاری شماره ۵ در معدن مس چاه‌موسی $\text{Py}=\text{پیریت}$ ، $\text{Cpy}=\text{کالکوپیریت}$ ، $\text{Bn}=\text{بورنیت}$ ، $\text{Dj}=\text{دیژنیت}$ ، $\text{Cc}=\text{کالکوسیت}$ ، $\text{Azu}=\text{کوولیت}$ ، $\text{Mal}=\text{مالاکیت}$ ، $\text{Cv}=\text{آزوریت}$



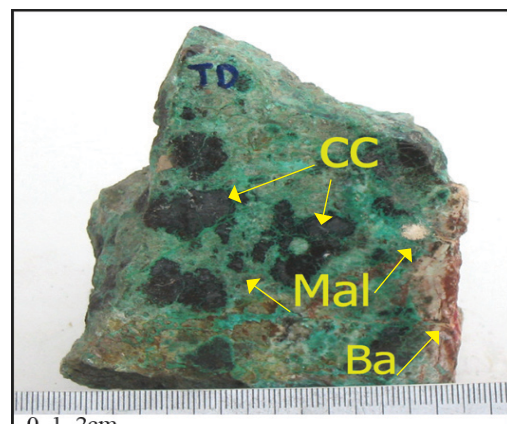
شکل-۹- مقطع زمین‌شناسی-معدنی (شمالي- جنوبي) از معدن مس چاه‌موسی و تغييرات دگرسانی و عيار کانه‌زایي مس در زون سوپرژن اکسید- سولفید و سوپرژن سولفید در گمانه‌های حفاری، محل مقطع A-B و موقعیت کارگاه‌های استخراجی ۱ و ۲ و گمانه‌های حفاری نسبت به کارگاه‌های استخراجی در شکل ۴ مشخص است. (دگرسانی کلریتی- کلسیتی و فیلیک از سطح تا عمق گسترش دارند ولی دگرسانی اپیدوتی- کلریتی- کلسیتی فقط در ژرفای بیش از ۱۰۰ متر مشاهده می‌شوند.



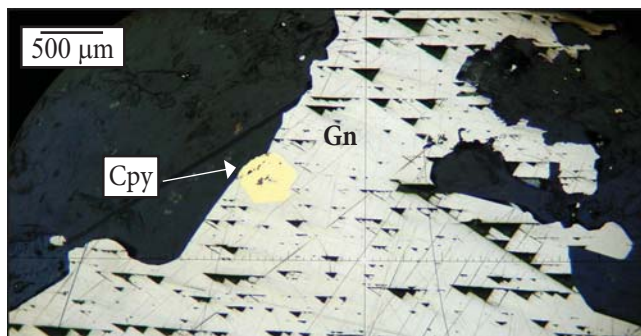
شکل ۱۱ - نقشه شماتیک از انواع کانه‌زایی افshan-رگه‌ای، برش گرمابی، استوک ورک و رگه‌ای در ترانشه خاور کلاته چاه‌موسی. در این ترانشه کالکوست با بافت استوک ورک (در کنار کوارتز و مالاکیت) همراه با رگه‌های سیلیسی مس دار، رگه‌های کلسیتی مس دار، رگه‌های باریت، رگه‌های کلسیت گالن دار و همچنین کانه‌های افshan مس (کالکوست-مالاکیت-مالاکیت) و برش گرمابی با زمینه هماقیت (اسپیکیولاریت) و کوپریت با هم مشاهده می‌شوند. شکل فضایی کانه‌زایی در ترانشه، از امتداد و شکل گسل پیروی می‌کند. تصویر انواع کانه‌زایی‌ها در مقیاس نمونه دستی و میکروسکوپ در شکل ۱۲ تا ۲۰ نشان داده شده است.



شکل ۱۳ - بافت استوک ورک از کوارتر (Qtz)، کالکوست (cc)، و مالاکیت (Mal)، در توode نیمه‌آتشفسانی بیوتیت-هورنبلند آندزیت پورفیری. دگرسانی فیلیک و کلریتی-کلسیتی سنگ میزان را تحت تأثیر قرار داده است، (تصویر از کمر پایین ترانشه کلاته چاه‌موسی).



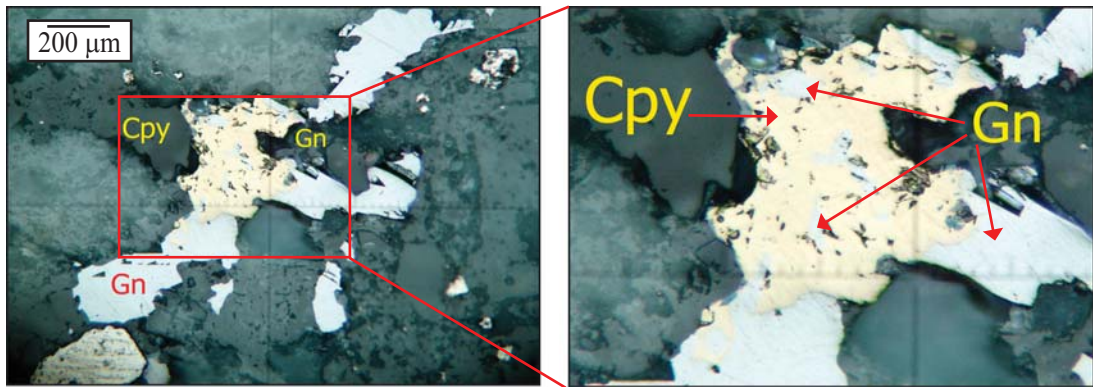
شکل ۱۲ - کالکوست افshan (cc) همراه با مالاکیت (Mal) و باریت (Bar) در ترانشه کلاته چاه‌موسی.



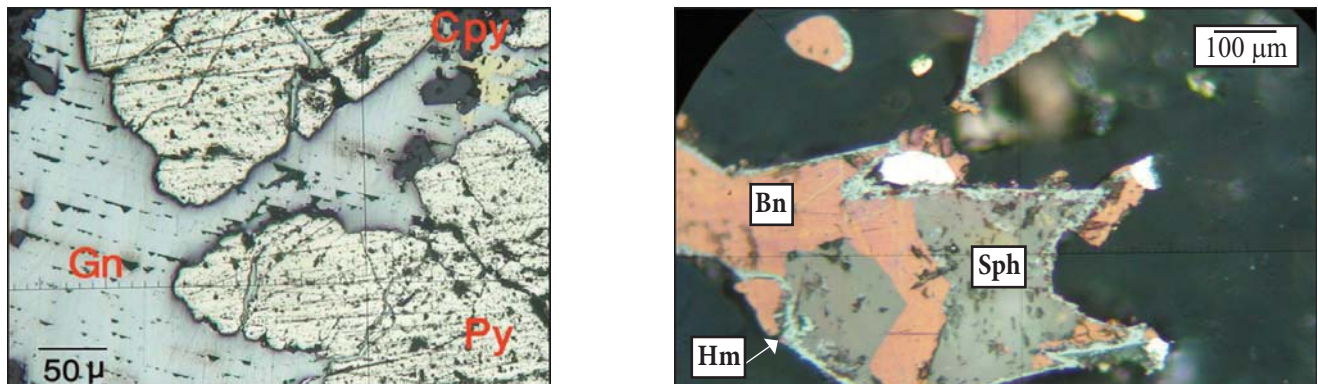
شکل ۱۵ - کالکوپیریت (Cpy) خودشکل به صورت فاز قدیمی‌تر در بلور تأخیری گالن (Gn) مشاهده می‌شود. ژرفای ۱۲۵ متری گمانه حفاری شماره ۱، معدن کلاته چاه‌موسی، نوریازتابی در روغن، ۲۰۰X PPL.



شکل ۱۴ - نمایی نزدیک از برش گرمابی در کلاته چاه‌موسی، زمینه تیره رنگ برش از هماقیت (اسپیکیولاریت)، کلینوکلر و کوپریت تشکیل شده است.

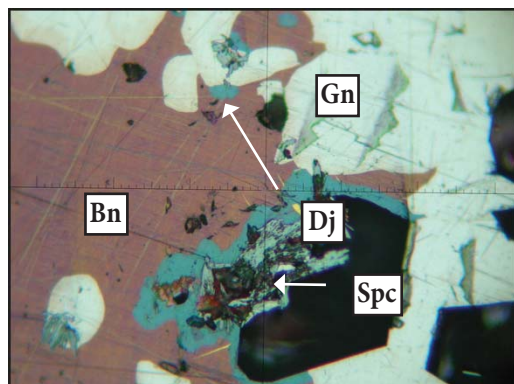


شکل ۱۶- هم‌رشدی کالکوپیریت (Cpy) و گالن (Gn)، کادر تصویر چپ در سمت راست بزرگ شده است. ژرفای ۱۱۸ متری گمانه حفاری شماره ۱، معدن کلاته چاه موسی، نوربازتابی در روغن، PPL 300X.

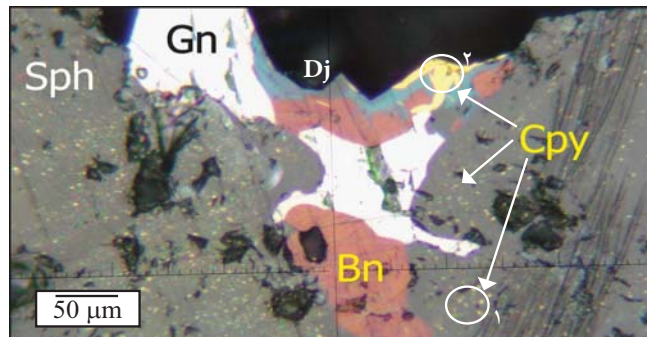


شکل ۱۸- بلور گالن (Gn) و کالکوپیریت (Cpy) (هم‌شد) فاز قدیمی‌تر پیریت (Py) را قطع کرده‌اند. ژرفای ۸۵ متری گمانه حفاری شماره ۱، معدن کلاته چاه موسی، نوربازتابی در روغن، PPL 300X.

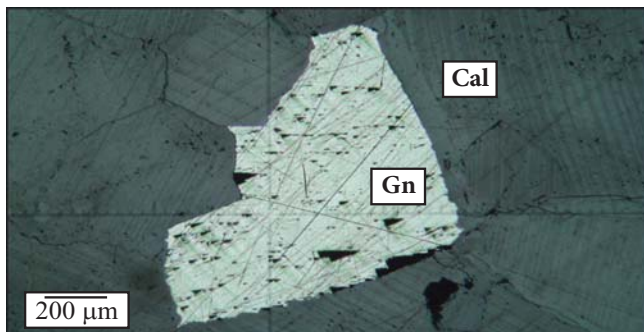
شکل ۱۷- فاز بورنیت (Bn) بلور اسفالریت (Sph) را قطع نموده است. هماتیت‌های ثانویه (Hm) در اطراف بورنیت و اسفالریت مشاهده می‌شود ژرفای ۱۵۵ متری گمانه حفاری شماره ۱، معدن کلاته چاه موسی، نوربازتابی در روغن، PPL 200X.



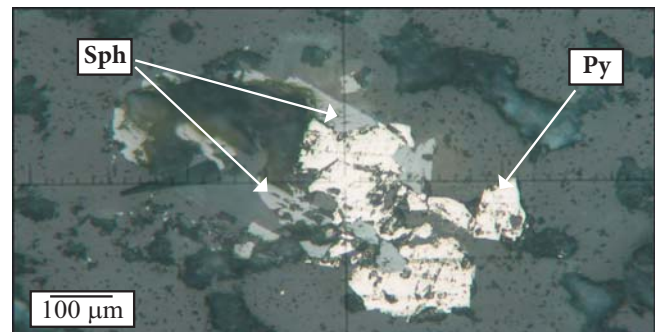
شکل ۱۹- هم‌رشدی بورنیت (Bn) و گالن (Gn) در رگچه سیلیسی کانه‌دار، حاشیه‌ای از دیئنیت (Dj) به رنگ آبی و اسپیکیولاریت (Spc) به رنگ خاکستری نیز مشاهده می‌شود. ژرفای ۱۵۵ متری گمانه حفاری شماره ۱، معدن کلاته چاه موسی، نوربازتابی در روغن، PPL 200X.



شکل ۲۰- هم‌رشدی کالکوپیریت نسل ۱ (Cpy) و اسفالریت (Sph) به صورت محلول جامد امولسیونی. بورنیت (Bn) و گالن (Gn) و در نهایت کالکوپیریت نسل دوم و دیژنیت (Dj) این مجموعه را قطع کرده است. رگه کانه‌دار سیلیسی، نمونه‌ای از ژرفای ۱۵۵ متری گمانه حفاری شماره ۱ در معدن کالاته چاه موسی، نور بازتابی در روغن، PPL 300X.



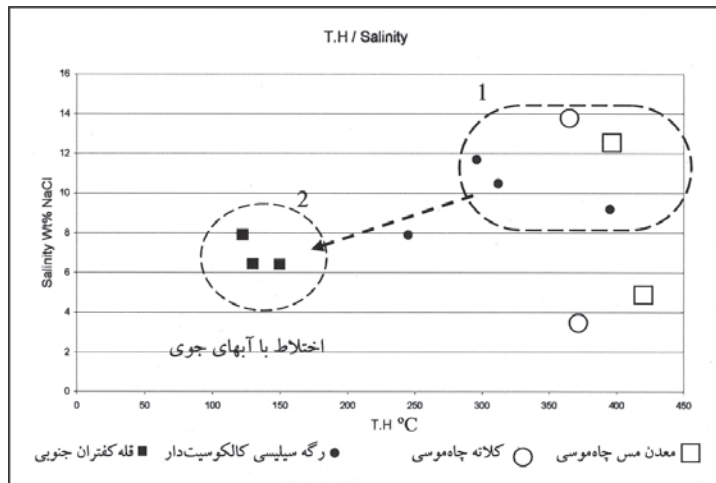
شکل ۲۲- بلور گالن (Gn) در رگه کلسیتی (Cal) در معدن قله کفتران شمالی، نور بازتابی X 100PPL در روغن.



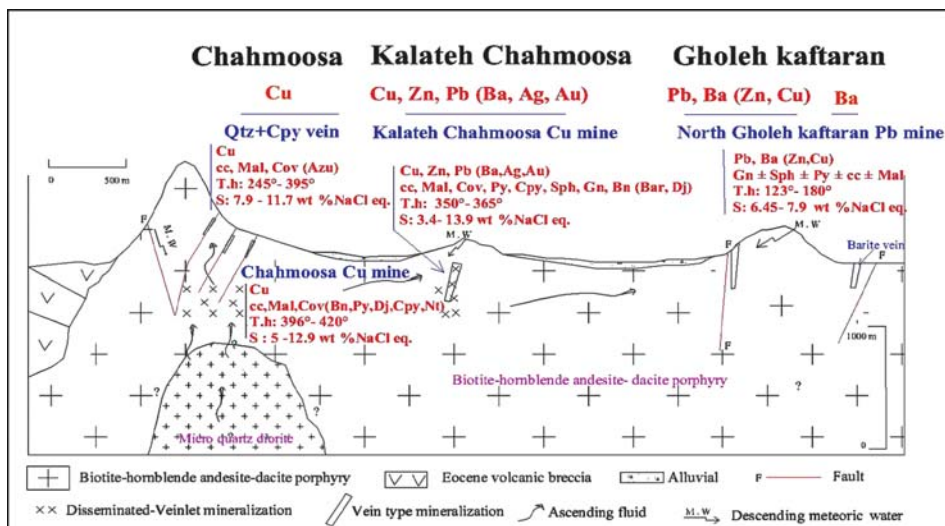
شکل ۲۱- پیریت (Py) و اسفالریت (Sph) در رگه سیلیسی-کلسیتی، معدن قله کفتران شمالی، X 200PPL نور بازتابی در روغن.

کانه‌ها	هیبوزن		سویدن	
	Early	Late	Early	Late
Py				
Cpy				
Bn				
Sph				
Gn				
Bar				
Dj				
cc				
Cv				
Spc (Hyp)				
Hm (sup)				
Mal				
Azu				
Nt				
Gt				
Jrs				
Qz				
Cal				

شکل ۲۳- توالی پارازنیک عمومی کانه‌زایی در انواع کانه‌زایی‌های منطقه در مراحل سویرزن و هیبوزن، Py = پیریت، Bn = بورنیت، Cpy = کالکوپیریت، Gn = گالن، Sph = اسفالریت، Br = باریت، Dj = دیژنیت، Cc = کالکوسیت، Cv = کالکوولیت، Spc = کوولیت، Hm = هماتیت، Mal = مالاکیت، Nt = آزوریت، Gt = گوتیت، Jrs = نئوتوبوسیت، Qz = جاروسیت، Cal = کلسیت



شکل ۲۴- نمودار شوری در برابر دمای همگن شدگی که نشان دهنده دو محدوده از دما و شوری برای نمونه‌های کانه‌زایی‌های افshan- رگجه‌ای معادن چاهموسی و کلاته چاهموسی، رگه‌ای سیلیسی کالکوستیت‌دار چاهموسی و رگه‌های سرب‌دار قله کفتران جنوی می‌باشد. روند یک به دو نشان دهنده کاهش دمای یکنواختی و شوری (احتمالاً در اثر آمیختگی با آبهای جوی) است.



شکل ۲۵- تصویری شماتیک از روند تکامل و صعود سیال‌های کانه‌دار در معادن چاهموسی، کلاته چاهموسی و قله کفتران. به طوری که در تصویر دیده می‌شود، در طی این تکامل، نخست کانه‌زایی مس افshan- رگجه‌ای چاهموسی در ژرفای زیاد و دمای بالا و سپس به ترتیب کانه‌زایی مس، روی، سرب افshan- رگجه‌ای و استوکورک کلاته چاهموسی، رگه‌ای سیلیسی کالکوستیت‌دار و رگه‌های کلسیتی گالن‌دار و در آخر رگه‌های باریت قله کفتران شمالی تشکیل شده است (علاوه انتشاری در جدول ۲ توضیح داده شده است).

کتابنگاری

امام جمعه، ا.، ۱۳۸۵- زمین‌شناسی، کانی‌شناسی، ژئوشیمی و ژئر کانسار مس چاهموسی، شمال‌غرب ترود، استان سمنان، پایان‌نامه کارشناسی ارشد زمین‌شناسی اقتصادی دانشگاه تربیت مدرس



- امام جمعه، ا.، راستاد، ا.، بوذری، ف و رشید نژاد عمران، ن.، ۱۳۸۴- کانه‌زایی افshan و رگهای مس (سرب، روی) در کانسارهای چاه موسی، قله کفتران و قله سوخته در شرق کمان آتشفسانی- نفوذی ترود- چاه شیرین، جنوب شاهرود، بیست و چهارمین همایش علوم زمین، سازمان زمین‌شناسی و اکتشافات معدنی کشور برنامه، ب.، و عشق آبدی، م.، ۱۳۷۶- گزارش ارزیابی و اکتشافی کانسارها و اندیس‌های سرب و روی استان سمنان، سازمان صنایع و معدن استان سمنان تاج الدین، ح.، ۱۳۷۷- زمین‌شناسی، کانی‌شناسی، ژئوشیمی و ژنر اثر معدنی طلا در منطقه باختر، پایان‌نامه کارشناسی ارشد زمین‌شناسی اقتصادی، دانشگاه تربیت مدرس رشید نژاد عمران، ن.، ۱۳۷۱- بررسی تحولات سنگ‌شناسی و ماسه‌گذاری و ارتباط آن با کانی سازی طلا در منطقه باختر، پایان‌نامه کارشناسی ارشد پترولوری، دانشگاه تربیت معلم تهران شمعانیان اصفهانی، غ. ح.، ۱۳۸۲- مطالعه دگرسانی و کانی‌سازی گرمابی فلزات پایه و گرانبهای در منطقه معلمان، پایان‌نامه دکتری زمین‌شناسی اقتصادی، دانشگاه صادقی فلکده‌ی، ص.، ۱۳۸۲- بررسی زمین‌شناسی اقتصادی کانسار چاه موسی، ترود، استان سمنان، پایان‌نامه کارشناسی ارشد زمین‌شناسی اقتصادی دانشگاه آزاد اسلامی واحد تهران شمال عابدیان، ن. و دری، م.، ۱۳۷۵- بررسی معادن مس استان سمنان، سازمان صنایع و معدن استان سمنان فرد، م.، ۱۳۸۰- کانی‌شناسی، ژئوشیمی و ژنر کانسار طلا، سرب، روی (مس و باریم) گندی، پایان‌نامه کارشناسی ارشد زمین‌شناسی اقتصادی، دانشگاه تربیت مدرس تهران هوشمندزاده، ع.، علوی نایینی، م. و حقی‌پور، ع.، ۱۳۵۷- تحول پدیده‌های زمین‌شناسی ناحیه ترود، از پرکامبرین تا عهد حاضر، سازمان زمین‌شناسی و اکتشافات معدنی کشور

References

- Anderson, A.J., 1982- Characteristics of leached capping and techniques of appraisal, in Titley, s. R., ed., Advances in geology of the porphyry copper deposits, southwestern North America, Tucson, The university of Arizona Press, p. 275-295.
- Bean, R.E., 1982- Hydrothermal and mineralization in porphyry copper deposits, in Titley, s.R. , ed., Advances in geology of the porphyry copper deposits, southwestern North America, Tucson, The university of Arizona Press, p. 256-275.
- Beane, R.E. and Titley, S.R., 1981- Porphyry copper deposits Part II. Hydrothermal alteration and mineralization: 75th Anniversary, Economic Geology, v. 76, pp.235-269.
- Ehrenberg, S.N., Aagaard, P., Wilson, M.J., 1993- Depth - dependent transformation of kaolinite to dickite in sandstones of the Norwegian continental shelf. Clay Minerals, v.28, pp.325-352.
- Jebrah, M., 1997- Hydrothermal breccias in vein type ore deposits: Ore Geology Reviews, v.12. Pp.420-429.
- Kodera, P., Lexa, J., Rankin, A.H. and Fallick, A.E., 2004- Fluid evolution in a subvolcanic granodiorite pluton related to Fe and Pb-Zn mineralization, Banska Štiavnika ore district, Slovakia: Economic Geology, v.99, pp.1745-1770.
- Montoya, J, M., Hemley, J, J., 1975- Activity relations and stabilities in alkali feldspar and mica alteration reactions: Economic Geology, v.70, pp.557-594.
- Rolinson, H. R., 1992- Using geochemical date: evaluation, presentation, interpretation, Penguin Press, pp 209.
- Sillitoe, R.H., 1985- Ore-related breccias in volcanoplutonic arcs: Economic Geology, v.80, pp.1467-1514.
- Sillitoe, R.H. and McKee, E.H., 1996- Age of supergene oxidation and enrichment in the Chilean porphyry copper province: Economic Geology, v.91, pp.164-179.